

名古屋大学 正員 川本 勉 万
 本四公団 正員 林 美 信

1. はじめに 最近、鉄筋コンクリートやFRPなどのように補強筋が入れられたはり部材の応力状態や変形挙動の解析に対して、有限要素法が適用されるようになつてきた。この場合、二次元状態と考へ、補強筋と母材との間に linkage element を用いることにより、両者のボンド応力や付着状態の変化などを取り扱へる。しかし実際には、応力状態は三次元的なものであり、その解析には三次元要素とが特に適合し（付着状態を表現しう）る要素を用いて、はりのモデル化を考へる必要がある。ここでは、Finite Prism Method (FPM) を適用する方法を考へ、補強筋と母材との付着状態を表す要素として、Finite Prism要素に適合するような三ノイソト要素を開発し（解析に導入した。本報告では、付着のない母材の力変形特性について線形弾性的な場合の計算結果を示すか、与えらる特性が非線形的を示す場合や、局部的な破壊が生ずる場合についてもおしる。

2. 三ノイソト要素とその剛性 FPMは、一様断面の三次元的柱状の物体（一様断面をもつ直線あるいは曲線構造）を、周数の直交性を利用して二次元的にモデル化して解析する方法である。図-1に示すように、一様断面の三次元構造物の断面を分割し、分割した柱状のものも要素と考へる。ここでは、断面における分割には二次のアイソパラメトリック要素を用いた。FPMの剛性行列の詳細については省略するが、変位成分 (u, v, w) をスパン a にわたって三角関数で仮定することにより、周数の直交性を利用して、剛性方程式の各項別の方程式で与えられることとなる。

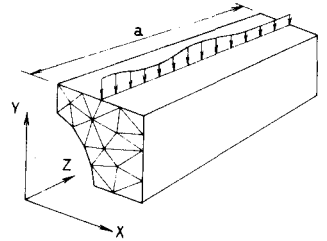


図-1 Finite Prism モデル

三ノイソト要素を図-2に示すようにアイソパラメトリックで仮定し、その要素は三角形あるいは等角であるとする。三ノイソトの上面 $\overline{123}$ における任意な点 P (全体座標系 z (x, y, z), 局部座標系 z' (ξ, η, ζ)), および下面 $\overline{456}$ における対応点 P' における x 方向変位成分を、それぞれ、 u, u' として仮定する。

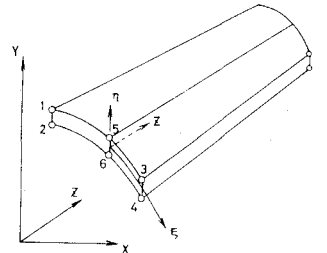


図-2 三ノイソト要素

$$u(x, y, z) = \sum_{k=0}^{\infty} \sum_{i=1}^3 N_i(\xi) u_i^k \sin \frac{k\pi z}{a}, \quad u'(x, y, z) = \sum_{k=0}^{\infty} \sum_{i=1}^3 N_i(\xi) u_i'^k \sin \frac{k\pi z}{a} \quad (1)$$

上式で、 $u_i^k, u_i'^k$ はそれぞれ上面に属する節点 i の変位成分 u_i, u_i' の k 項目のものである。また形状関数 N_i はつぎのように与えられる。

$$N_1(\xi) = \frac{1}{2}\xi(\xi-1), \quad N_2(\xi) = \frac{1}{2}\xi(\xi+1), \quad N_3(\xi) = 1-\xi^2 \quad (2)$$

なお、 v, v' は同様に \sin の項で、 w, w' は \cos の項で表わされる。点 P と点 P' との相対変位 $\{W\}$ は、

$$\begin{aligned} \{W\}_{local} &= \begin{Bmatrix} u_1 \\ u_2 \\ u_3 \end{Bmatrix} - \begin{Bmatrix} u_1' \\ u_2' \\ u_3' \end{Bmatrix} = \begin{bmatrix} \cos \alpha & \sin \alpha & 0 \\ -\sin \alpha & \cos \alpha & 0 \\ 0 & 0 & 1 \end{bmatrix} \begin{Bmatrix} u \\ v \\ w \end{Bmatrix} - \begin{Bmatrix} u' \\ v' \\ w' \end{Bmatrix} \\ &= [T]\{W\}_{global} = [T] \sum [N^k] \{\delta^k\} \quad (3) \end{aligned}$$

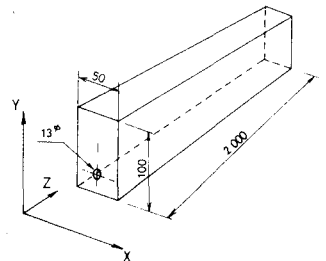


図-3 解析モデル

$$\{\delta^l\}^T = [u_1^l, v_1^l, w_1^l, \dots, u_6^l, v_6^l, w_6^l] \quad (4)$$

P点に作用する単位面積あたりの力のベクトル $\{p\}$ は、相対変位に比例すると仮定すると、次式で与えられる。

$$\{p\} = \begin{Bmatrix} p_1 \\ p_2 \\ p_3 \end{Bmatrix} = \begin{bmatrix} k_1 & 0 & 0 \\ 0 & k_2 & 0 \\ 0 & 0 & k_3 \end{bmatrix} \{w\}_{local} = [k] \{w\}_{local} \quad (5)$$

仮想仕事の原理より、3ノット要素の剛性行列を求めると、級数の直交性を考慮して、つぎのようになる。

$$\left. \begin{aligned} [k^{lm}] &= 0 \quad (l \neq m) \\ [k^{ll}] &= \int_S [N^l]^T [T]^T [k] [T] [N^l] dS_5 dz \end{aligned} \right\} \quad (6)$$

このようにして求めた4ノット要素の剛性行列は、通常の有限要素法の場合と同様にし、全体構造系の剛性行列に組み込まれる。

3. 解析例 図-3に示すように、一本の鉄筋と有するコンクリートはり単線支持され、上面に等分布鉛直荷重 $q = 1 \text{ kg/cm}^2$ をかける場合を考慮す。コンクリートは引張りに抵抗なし、圧縮側と同じ弾性係数をもつものとし、付着状態として $k_1 = k_2 = 1, 200, 2000, 20,000 \text{ kg/cm}^2/\text{cm}$ と、完全付着の場合を考慮、 k_3 には十分大きい値を用いた。解析結果の一部を示すと、図4, 5のようである。また、応力状態について、初等はり理論から計算した応力と比較して示すと、表-1および2のようである。

4. 材料非線形および局所破壊の導入 コンクリートの非線形挙動や局所破壊、付着部の局所ベリ等とは、弾塑性ないしは非線形弾性解析に付する初期応力法や、引張りに抵抗しない材料に付するno-tension法¹⁾等、いわゆる stress transfer 法の概念を利用して解析に考慮することはできる。母材の非線形性に対しても、応力荷重増分に対する線形解析による得られた応力増分 $\{\Delta\sigma\}_r$ と材料の非線形挙動を構成方程式に従って実際の応力増分 $\{\Delta\sigma\}_r$ とを差を相対する応力 $\{\Delta\sigma\}_r$ を初期応力として取り扱ひ、それを構造物と通じて弾性的に配分するよう調整計算を行う。この場合、 $\{\Delta\sigma\}_r$ に等価節点力(5)式と同様に級数表示を用いる。また、コンクリートが引張りに抵抗しなくなることを考慮する場合にも同様の手法を用いる。付着部の局所ベリや非線形挙動を考慮する場合には、まず、その荷重増分に対する線形応力増分 $\{\Delta p\}$ を計算し、この3ノット要素内の応力 $\{\Delta p\}$ を求め、これをスパン全長にわたって級数表示する。そして、 $\{\Delta p\}$ に等価節点力 $\{F\} = \sum_{l=0}^{\infty} \{F^l\}$ とすれば、級数の直交性により、 $\{F\}$ の各見項は次式のようになり示される。

$$\{F^l\} = \int_S [N^l]^T [T]^T \{\Delta p\} dS_5 dz \quad (7)$$

したがって、 $\{\Delta p\}$ が決定すれば等価節点力が決定し、この力が全構造系に作用させて再解析を行うことはでき、この力を弾性的に配分されることになる。この計算過程は応力の修正を繰り返して行われる。

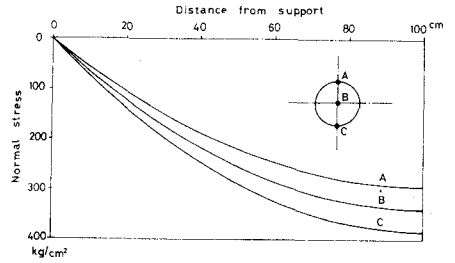


図-4 鉄筋の軸方向直応力(完全付着)

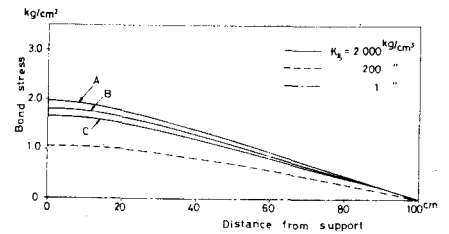


図-5 付着応力分布

表-1 スパン中央の断面における縦応力

	上縁圧縮応力	下縁引張応力
初等はり理論	kg/cm²	kg/cm²
鉄筋コンクリートはり	74.0	69.9
コンクリートはり	75.0	75.0
鉄筋部のみ空洞のはり	75.1	75.6
Finite Frim Method		
完全付着	74.1	70.1
$k_b = 20,000 \text{ kg/cm}^2/\text{cm}$	74.2	70.1
2,000	74.2	70.4
200	74.6	72.5
1	75.3	75.8

表-2 はりの応力より 5° の傾度の応力の比較

はりの斜め軸からの距離	0° (鉄筋中心)	5° (コンクリート縁)
初等はり理論	kg/cm²	kg/cm²
鉄筋コンクリートはり	34.0	34.0
鉄筋部のみ空洞のはり	—	37.9
Finite Frim Method		
完全付着	34.0	33.8
$k_b = 20,000 \text{ kg/cm}^2/\text{cm}$	33.8	33.8
2,000	32.0	34.0
200	19.8	35.5
1	2	37.9